



Dunaújvárosi  
Egyetem



## Nemlineáris anyagviselkedés peridinamikus modellezése

Ladányi Gábor, PhD hallgató

[ladanyi@uniduna.hu](mailto:ladanyi@uniduna.hu)

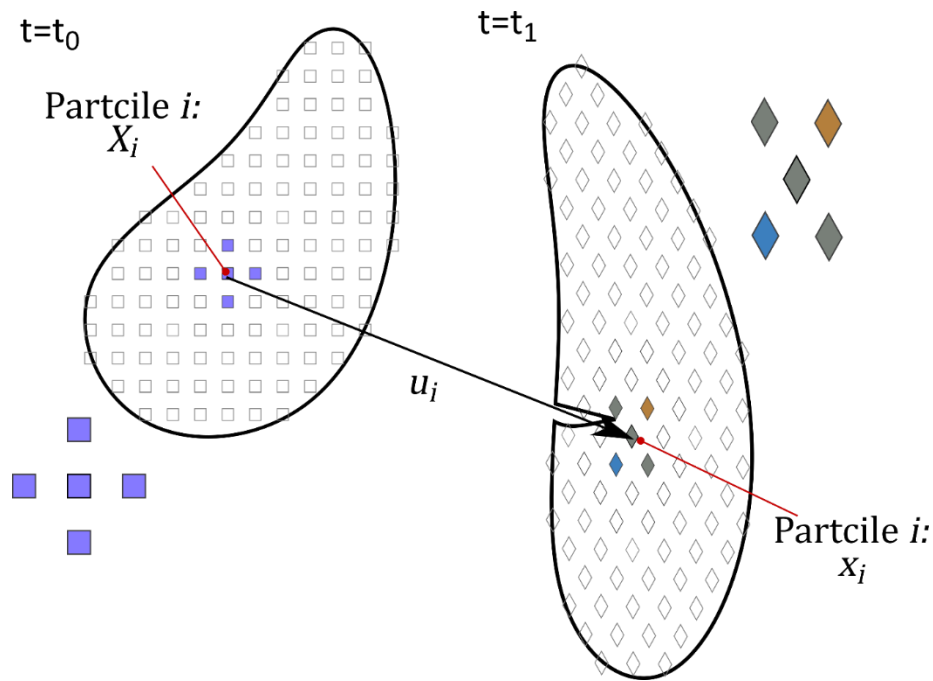
Témavezető: PhD Gonda Viktor

Kutatási beszámoló

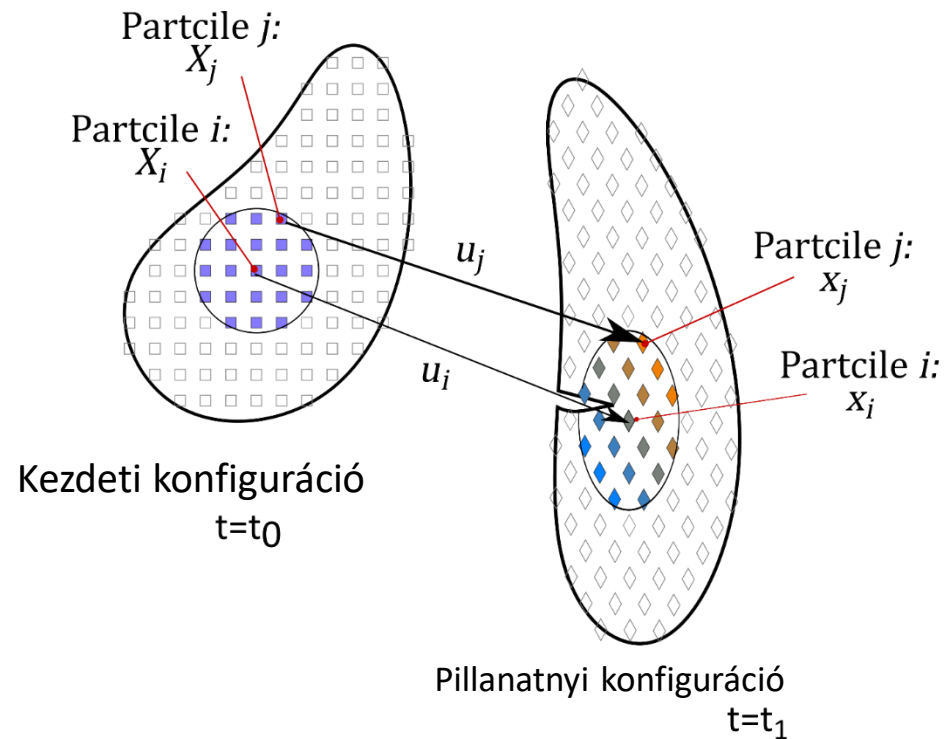
2019.01.21.

- Bevezetés
  - Motiváció
  - A peridinamikus anyagmodell
  - Irodalmi áttekintés
- Korábbi kutatási eredmények összefoglalása
- Célkitűzések
  - Nagy alakváltozások peridinamikus leírása
  - A peridinamikus megoldás „megbízhatóságának” javítása
- Eredmények és további tervek
  - Az eddigi eredmények publikálása
  - Nagy rugalmas, képlékeny modell kidolgozása
  - Az intenzív képlékeny alakítás peridinamikus modellezése

### Lokális kontinuum mechanika



### Peridinamikus kontinuum mechanika



## A peridinamikus állapot

- Kinematika

- A referencia pozíció állapot:  $\mathbf{X}_{AB} = \mathbf{X}_B - \mathbf{X}_A$
- A pillanatnyi pozíció állapot:  $\mathbf{x}_{AB} = \mathbf{x}_B - \mathbf{x}_A$
- Az elmozdulás állapot:  $\mathbf{u}_{AB} = \mathbf{u}_B - \mathbf{u}_A$

- Az alaktenzor:  $\mathbf{K}_A = \int_{\mathcal{H}_A} \omega(|\mathbf{X}|) \cdot \mathbf{X}_{AB} \circ \mathbf{X}_{AB} d\mathbf{X}_B$

- Dinamika

- Az erőállapot:  $\mathbf{T}_{AB} = \mathbf{T}_{AB}(\mathbf{x}_{AB}, t)$
- Nem közönséges állapot alapú PD esetén:

$$\mathbf{T}_{AB} = \omega(|\mathbf{x}_{AB}|) \cdot \boldsymbol{\sigma}_A \cdot \mathbf{x}_{AB} \cdot \mathbf{K}_A^{-1}$$

## Lokális modell

- Geometriai egyenlet:

$$\boldsymbol{\varepsilon} = \frac{1}{2} (\nabla \circ \mathbf{u} + \mathbf{u} \circ \nabla)$$

- Mozgásegyenlet:

$$\rho \cdot \ddot{\mathbf{u}} = \nabla \cdot \boldsymbol{\sigma} + \mathbf{b}$$

- Anyagegyenlet (Hooke's law):

$$\boldsymbol{\sigma} = \mathbf{C} \cdot \boldsymbol{\varepsilon}$$

- Peremfeltételek:

- Elmozdulások:

$$\mathbf{u} = \hat{\mathbf{u}}, \text{ if } X \in \Gamma_u$$

- Felületi terhelés:

$$\boldsymbol{\sigma} \cdot \mathbf{n} = \hat{\mathbf{t}}, \text{ if } X \in \Gamma_t$$

## Peridinamikus modell

- Geometriai egyenlet:

$$\boldsymbol{\varepsilon} = \frac{1}{2} \cdot \int_{\mathcal{H}_A} \omega(|\boldsymbol{\chi}|) \cdot (\boldsymbol{\chi} \circ \mathbf{u} + \mathbf{u} \circ \boldsymbol{\chi}) d\mathbf{X}_B \cdot \mathbf{K}^{-1}$$

- Mozgásegyenlet:

$$\rho \cdot \ddot{\mathbf{u}}_A = \int_{\mathcal{H}_i} (\mathbf{T}_{BA} - \mathbf{T}_{AB}) d\mathbf{X}_B + \mathbf{b}_A$$

- Anyagegyenlet (Hooke's law):

$$\boldsymbol{\sigma} = \mathbf{C} \cdot \boldsymbol{\varepsilon}$$

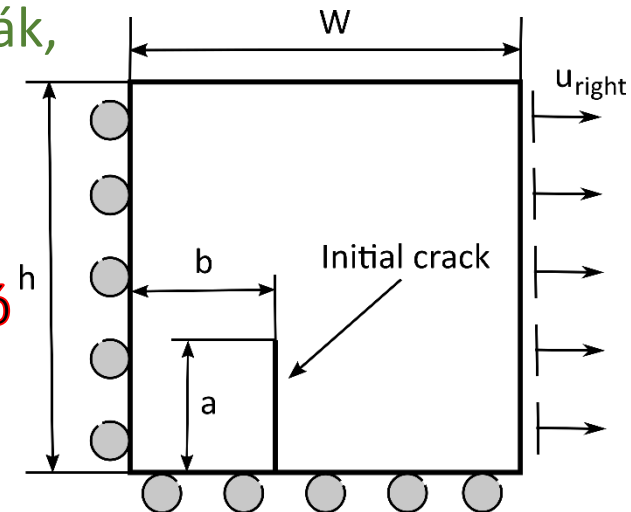
- Peremfeltételek:

- A peremtartományon előírva.

# Eredmények és nyitott kérdések

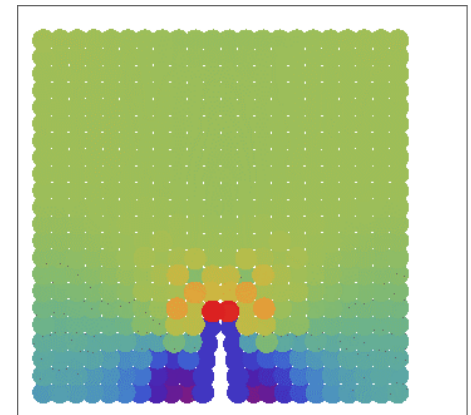
- Fizikai problémák leírása:

- Kis/nagy elmozdulások, kis alakváltozások, lineárisan rugalmas anyag, térfogati-, lemez- és rúdmodellek,
- Kis alakváltozású rugalmas-képlékeny problémák,
- Rideg, szívós és fáradt törés,
- Hőterjedés,
- Csatolt-tér problémák,
- **Nagy elmozdulásokkal és alakváltozásokkal járó problémák,**
- **Más erősen nemlineáris problémák.**



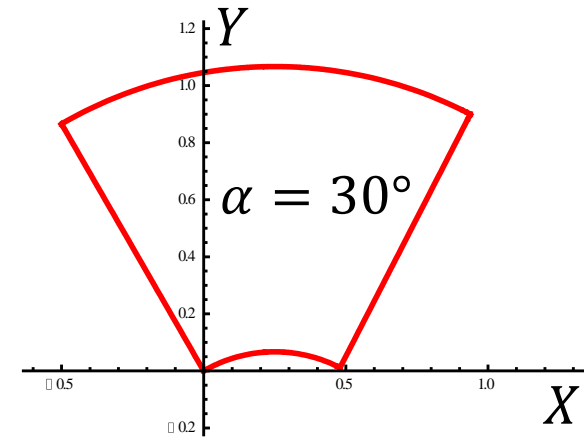
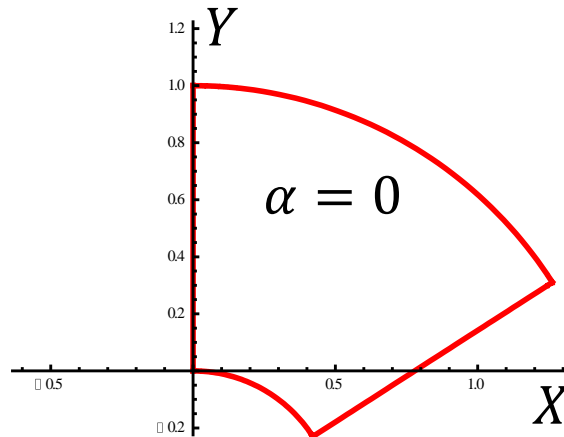
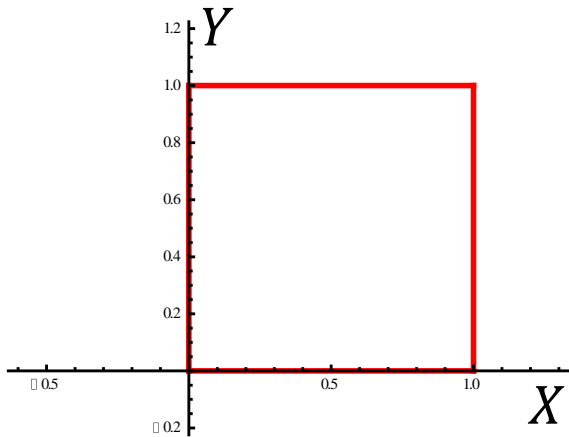
- Megoldási módszerek:

- A peridinamikus model megoldása hagyományos eljárásokkal (FEM, MESHLESS),
- Párhuzamos számítási módszerek,
- Explicit megoldók alkalmazása,
- **Implicit megoldók kis számú alkalmazása.**



- A növekményes megoldók hatékonyságáról:
  - ...the correct calculation of  $\mathbf{F}_{t+\Delta t}^{i-1}$  from  $\mathbf{U}_{t+\Delta t}^{i-1}$  is crucial. Any errors in this calculation will, in general, result in an incorrect response prediction.
  - ...the correct evaluation of tangent stiffness matrix  $\mathbf{K}_{t+\Delta t}^{i-1}$  is also important. The use of the proper tangent stiffness matrix may be necessary for convergence and, in general, will result in fewer iteration until convergence is reached.

# Példa: „hajlítás” + forgás



$$\begin{Bmatrix} x \\ y \end{Bmatrix} = \begin{bmatrix} \cos(\alpha) & \sin(\alpha) \\ \sin(\alpha) & \cos(\alpha) \end{bmatrix} \cdot \begin{Bmatrix} (0.5 + Y) \cdot \sin(X) \\ (0.5 + Y) \cdot \cos(X) - 0.5 \end{Bmatrix}$$

## Célok:

1. A merevtestszerű elfordulás ( $\alpha$ ) kiszámítása.
2. A Gree-Lagrange nyúlástenzor ( $E$ ) kiszámítása.



# 9 Példa: „hajlítás” + forgás

- Az alaktenzor:

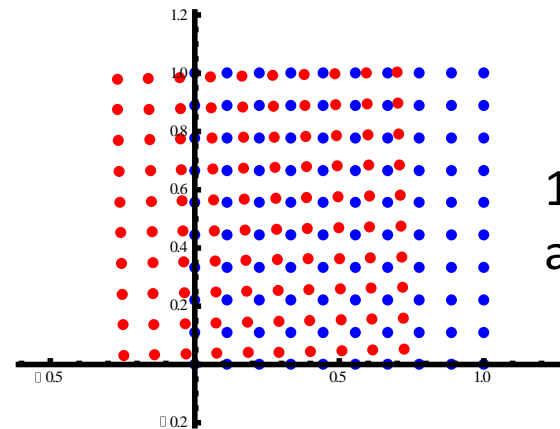
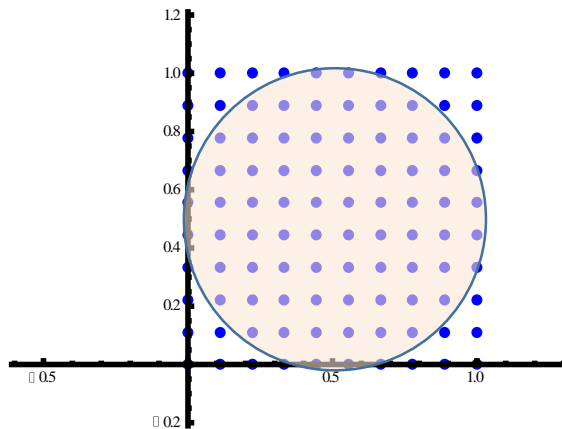
$$\mathbf{K}_A = \int_{\mathcal{H}_A} \omega(|\mathbf{X}|) \cdot \mathbf{x}_{AB} \circ \mathbf{x}_{AB} d\mathbf{X}_B$$

- Az alakváltozási gradiens:

$$\mathbf{F} = \int_{\mathcal{H}_A} \omega(|\mathbf{X}|) \cdot \mathbf{x}_{AB} \circ \mathbf{x}_{AB} d\mathbf{X}_B \cdot \mathbf{K}_A^{-1}$$

$$m = \frac{\rho}{\Delta x} = 5.1$$

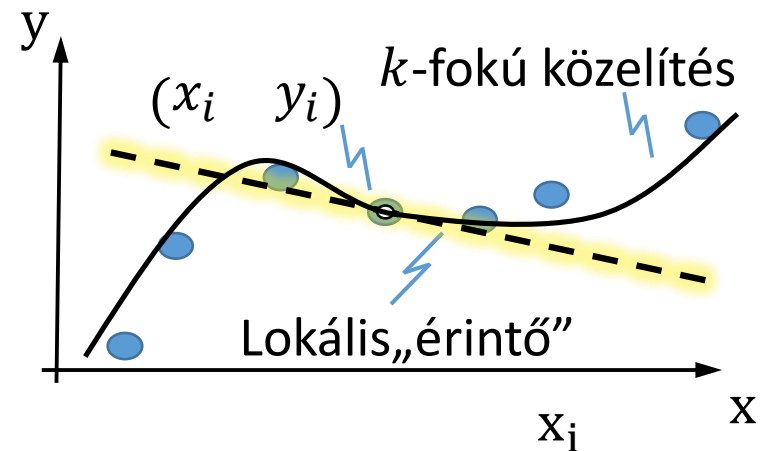
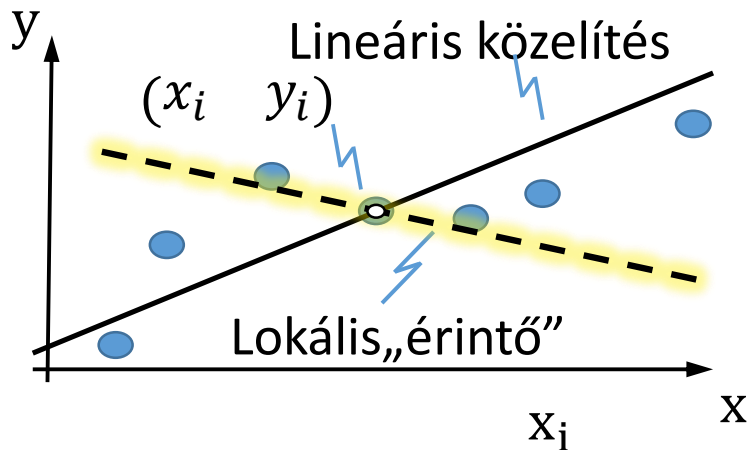
$$\mathbf{E} \approx \mathbf{0}$$
$$\alpha = 1.35^\circ$$



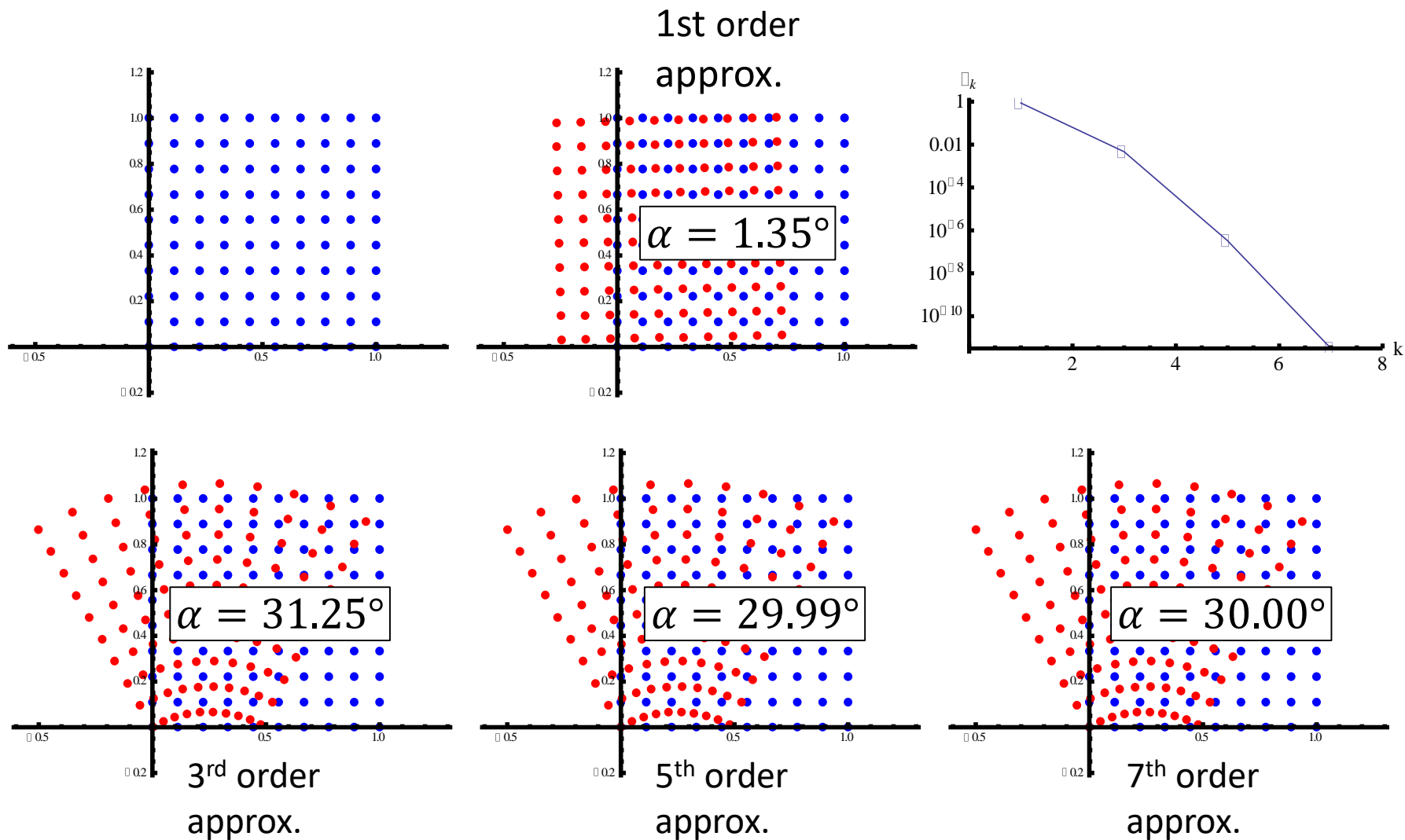
1<sup>st</sup> order  
approximation

# Példa: „hajlítás” + forgás

- A peridinamikus differenciál operátor (PDO) és a lineáris legkisebb hibanégyzet közelítés kapcsolata. Az emelt fokszámú PDO.



# Példa: „hajlítás” + forgás



# A peridynamikus mozgásegyenlet

- A feszültség „vektor”:

$$\mathbf{P}^T = \{P_{11} \quad P_{22} \quad P_{12}\}$$

- A fesz. divergencia:

$$DIV \mathbf{P} = \begin{cases} P_{11,1} + P_{21,2} \\ P_{12,1} + P_{22,2} \end{cases}$$

- A PDO alkalmazásával:

$$\nabla_{\mathbf{P}} = \begin{bmatrix} D_{11} & 0 & D_{21} & 0 & D_{12} & 0 & D_{22} & 0 & \dots & D_{1N} & 0 & D_{2N} & 0 \\ 0 & D_{11} & 0 & D_{21} & 0 & D_{12} & 0 & D_{22} & \dots & 0 & D_{1N} & 0 & D_{2N} \end{bmatrix}$$

$$DIV \mathbf{P} = \nabla_{\mathbf{P}}^A \cdot \mathcal{P} = \sum_{B=1}^{NNA} \nabla_{\mathbf{P}}^{AB} \cdot (\mathbf{P}(\mathbf{X}_B) - \mathbf{P}(\mathbf{X}_A)) \cdot \Delta V_B$$

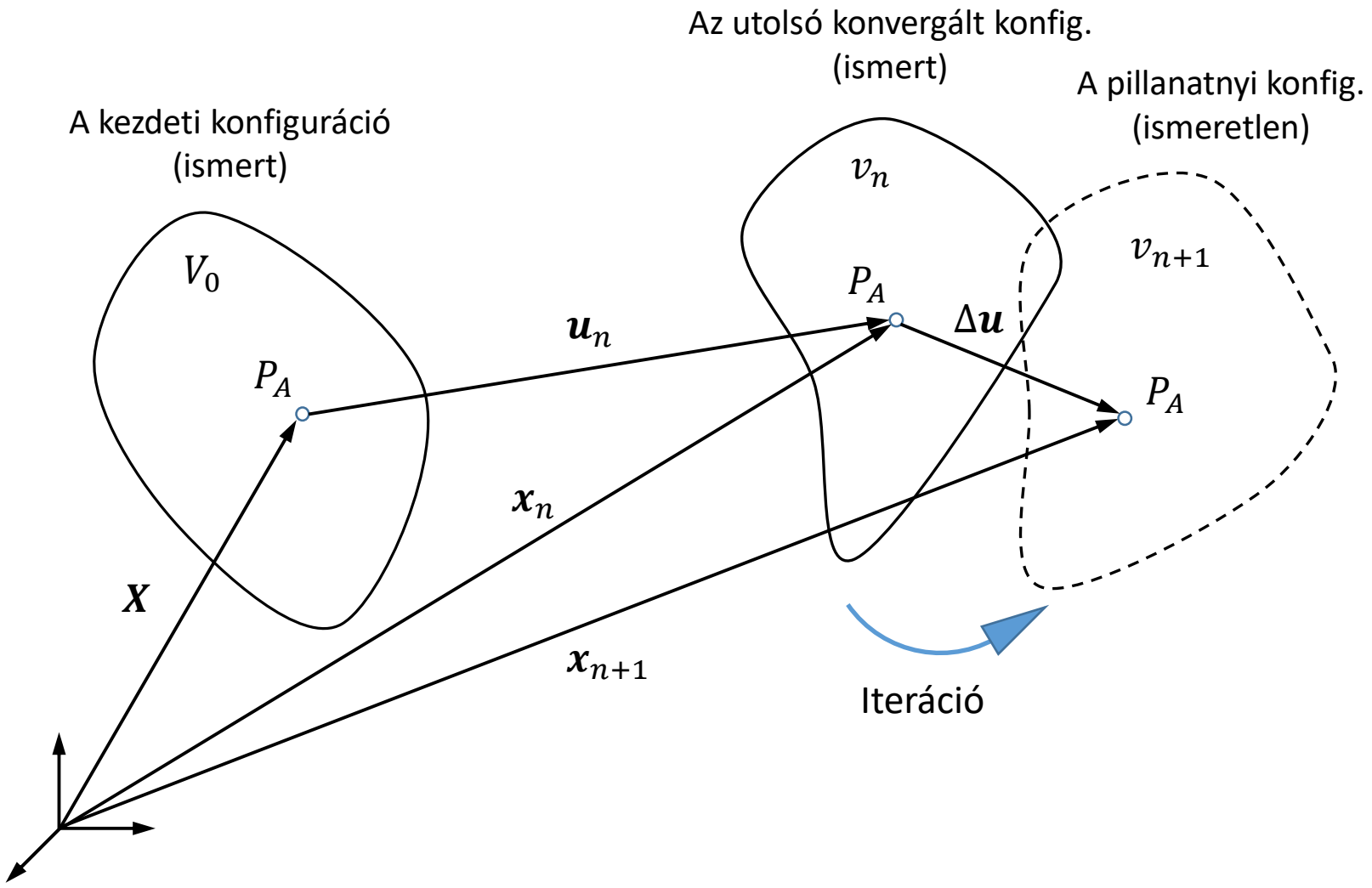
- Mozgásegyenlet teljes Lagrange leírás szerint\* :

$$DIV \mathbf{P}(\mathbf{X}_A) + \mathbf{B}(\mathbf{X}_A) = \rho \cdot \ddot{\mathbf{u}}(\mathbf{X}_A)$$

$$\sum_{B=1}^{NNA} \nabla_{\mathbf{P}}^{AB} \cdot (\mathbf{P}(\mathbf{X}_B) - \mathbf{P}(\mathbf{X}_A)) \cdot \Delta V_B + \mathbf{B}(\mathbf{X}_A) = \rho \cdot \ddot{\mathbf{u}}(\mathbf{X}_A)$$

$$\nabla_{\mathbf{P}}^{AB} = \begin{bmatrix} D_{1B} & 0 & D_{2B} & 0 \\ 0 & D_{1B} & 0 & D_{2B} \end{bmatrix}$$

# Az implicit megoldó levezetése



# Az implicit megoldó levezetése

A virtuális munka tétele:

$$\delta W(\mathbf{u}) = \int_V \mathbf{S} : \delta \mathbf{E} dV - \int_V \mathbf{f}_0 \cdot \delta \mathbf{u} dV - \int_{\partial V} \mathbf{t}_0 \cdot \delta \mathbf{u} dV = 0$$

$$a(\mathbf{u}, \delta \mathbf{u}) - l(\delta \mathbf{u}) = 0$$

$\delta W$ : a virtuális munka,

$\mathbf{S}$ : a második Piola-Kirchoff feszültség,

$\mathbf{E}$ : a Green-Lagrange nyúlás,

$V$ : a test térfogata a kezdeti konfigurációban,

$\mathbf{f}_0$ : a térfogati terhelés a kezdeti konfigurációban,

$\mathbf{t}_0$ : a felületi terhelés a kezdeti konfigurációban,

$\mathbf{u}$ : az elmozdulásmező,

$\delta \mathbf{u}$ : a virtuális elmozdulás.

# Az implicit megoldó levezetése

A növekményes Newton-Raphson eljárás:

- A pillanatnyi teherlépés legyen  $n$  és a pillanatnyi iteráció legyen  $k$ .
- A  $k$ . iteráció maradékát jelölje:

$$R(\mathbf{u}_n^k) = a(\mathbf{u}_n^k, \delta \mathbf{u}) - l(\delta \mathbf{u})$$

- A maradékot az  $\mathbf{u}^k$  iteráció körül linearizálva:

$$R(\mathbf{u}^{k+1}) \approx R(\mathbf{u}^k) + \left[ \frac{\partial R(\mathbf{u}^k)}{\partial \mathbf{u}} \right]^T \cdot \Delta \mathbf{u}^k = \mathbf{0}$$

- Az iterációs algoritmus:

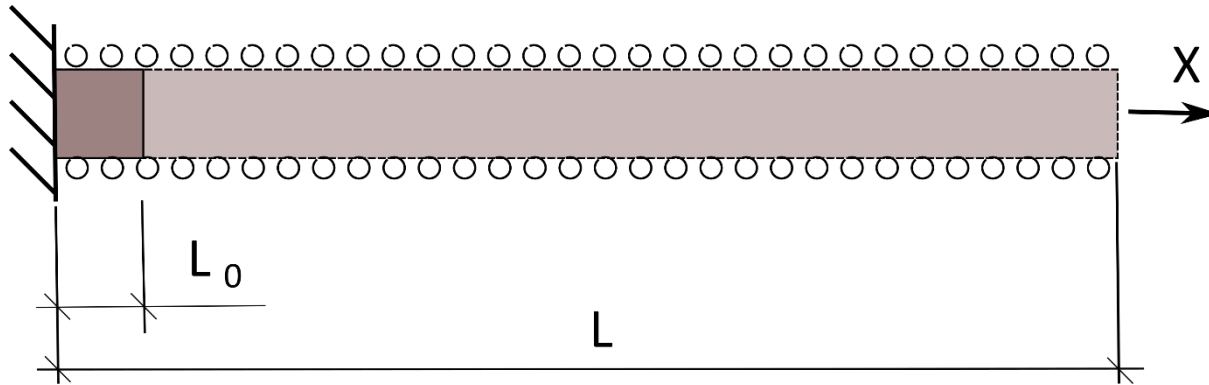
$$\left[ \frac{\partial R(\mathbf{u}^k)}{\partial \mathbf{u}} \right]^{-T} \cdot \Delta \mathbf{u}^k = -R(\mathbf{u}^k)$$

$$\mathbf{K}_T^k \cdot \Delta \mathbf{u}^k = \mathbf{F}_n^{ext} - \mathbf{F}_n^{k,int}$$

$$\begin{aligned} \mathbf{u}^{k+1} &= \mathbf{u}^k + \Delta \mathbf{u}^k \\ \mathbf{x}^{k+1} &= \mathbf{X} + \mathbf{u}^{k+1} \\ \mathbf{F}^{k+1} &= \nabla_F^A \cdot \mathbf{x}^{A,k+1} \end{aligned}$$

...

# Példa: Húzásnak kitett lemez



## Adatok:

Az eredeti geometria:

$$L_0 = 2[\text{mm}]$$

$$H_0 = H = 2[\text{mm}]$$

Az anyag: St. Venant–Kirchhoff

$$\lambda = 100[\text{MPa}]$$

$$\mu = 50[\text{MPa}]$$

A pillanatnyi állapot:

$$\mathbf{x}(\mathbf{X}) = \begin{Bmatrix} X_1^4 \\ X_2 \end{Bmatrix}$$

## Cél

A peridinamikus megoldás konvergenciájának vizsgálata.

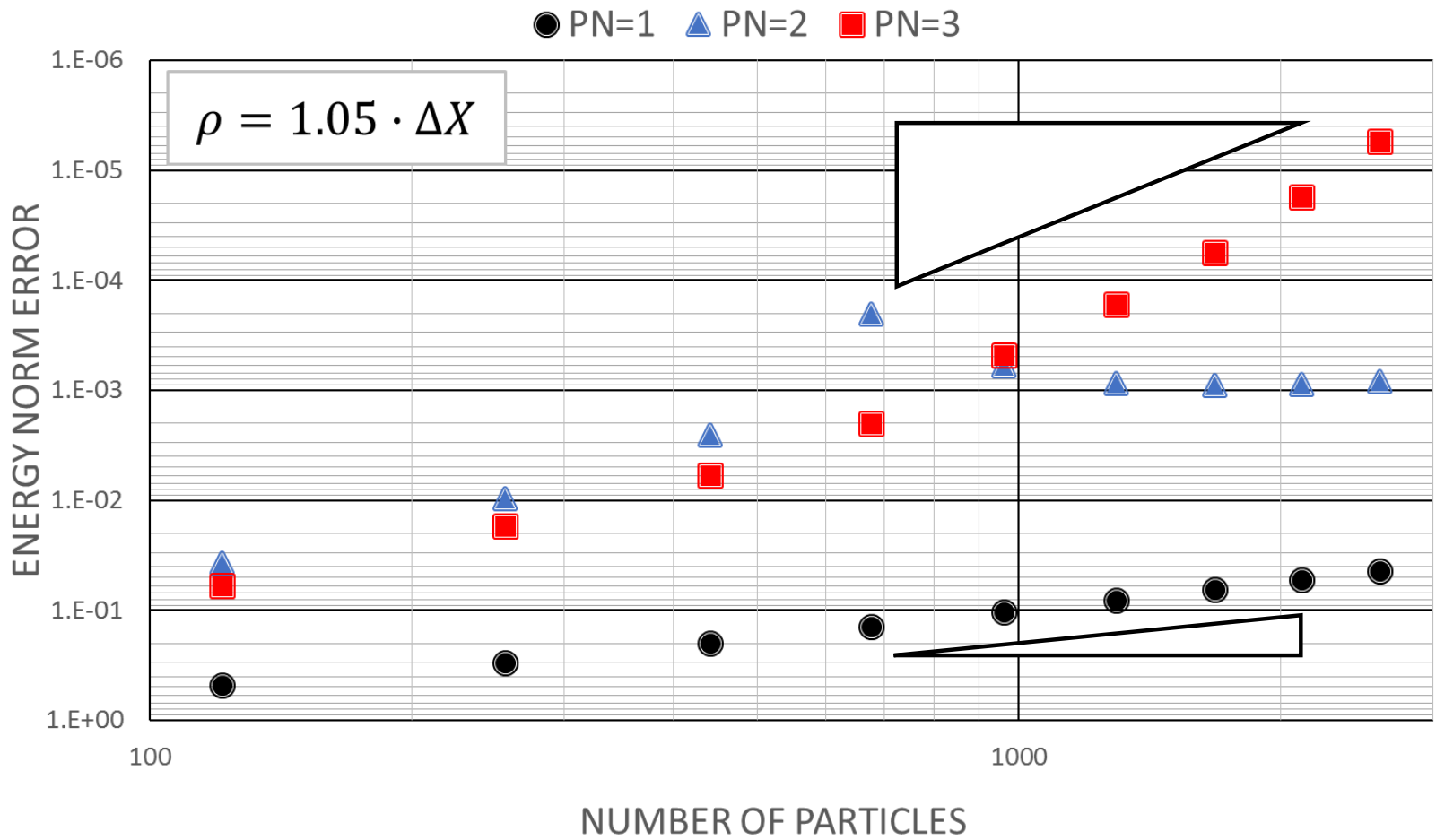
## Megoldás

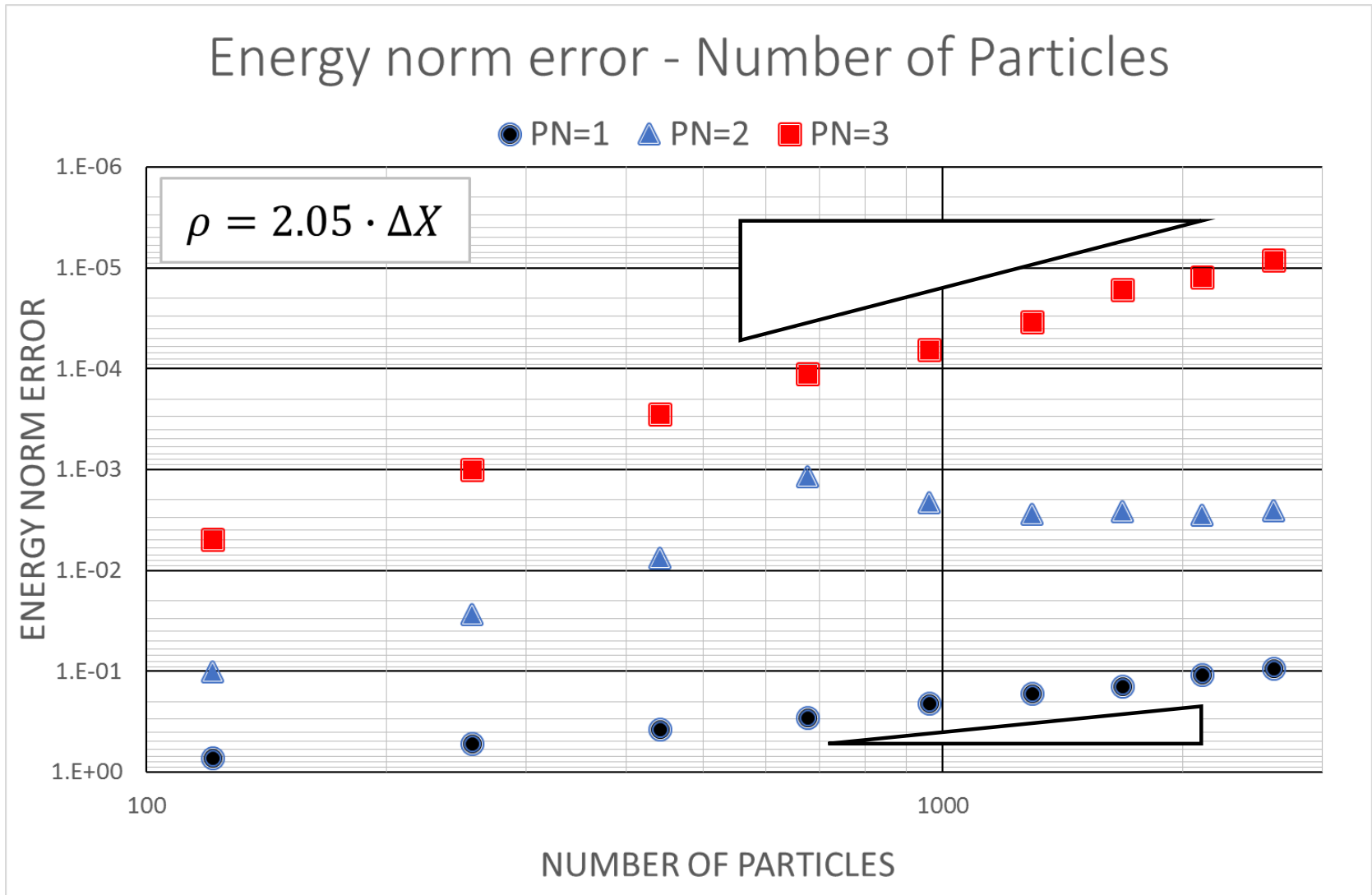
1. Az analitikus eredmények meghatározása:  $\mathbf{F}(\mathbf{X}), \mathbf{C}(\mathbf{X}), \mathbf{E}(\mathbf{X}), \mathbf{S}(\mathbf{X}), W_{int,a}$
2. A peridinamikus megoldás implicit meghat.:  $\tilde{\mathbf{F}}(\mathbf{X}), \dots, W_{int,PD}$
3. Az peridinamikus megoldás hibájának kiszámítása:

$$e_{PD} = \left| \frac{W_{int,a} - W_{int,PD}}{W_{int,a}} \right|$$

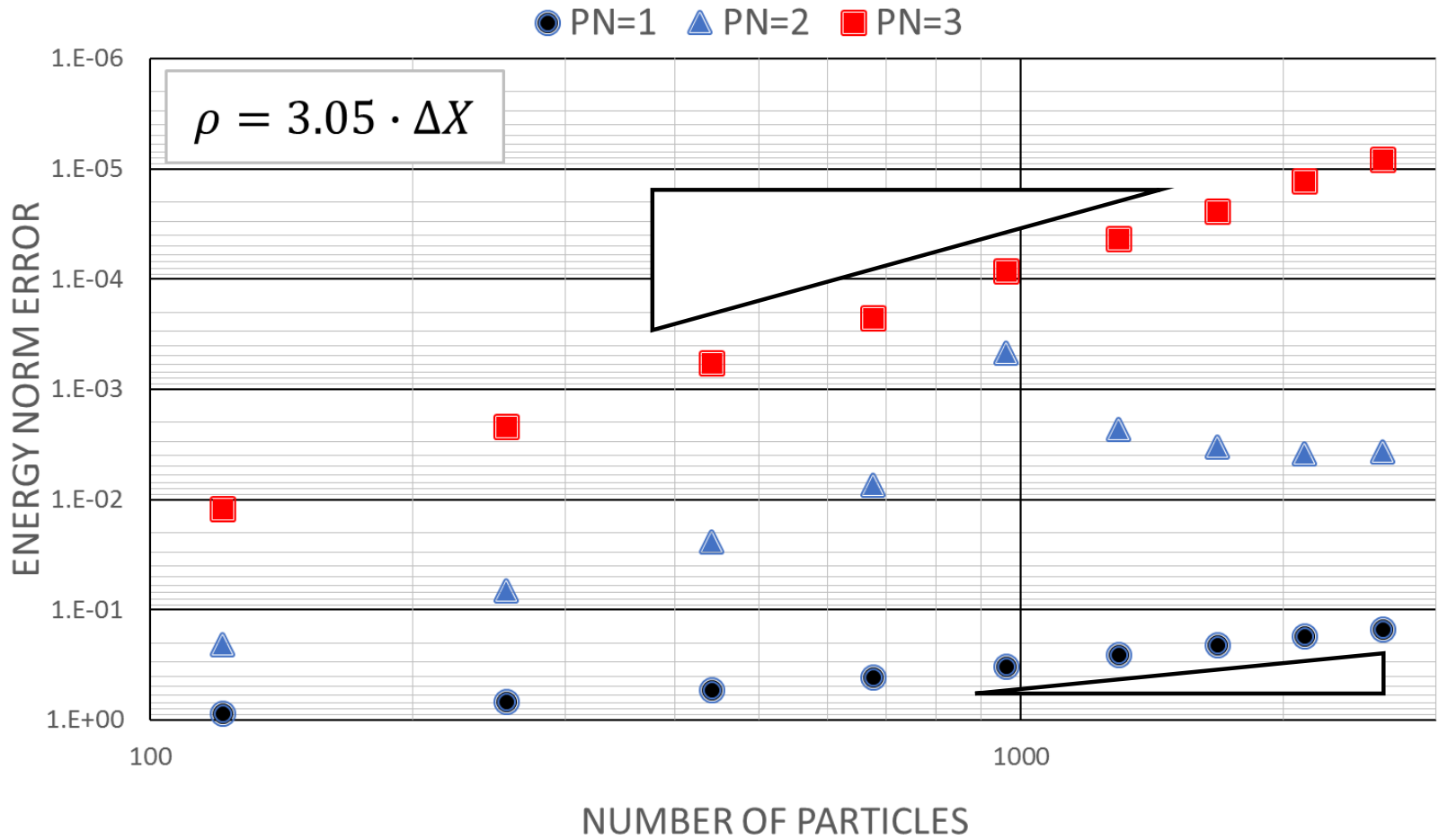


## Energy norm error - Number of Particles



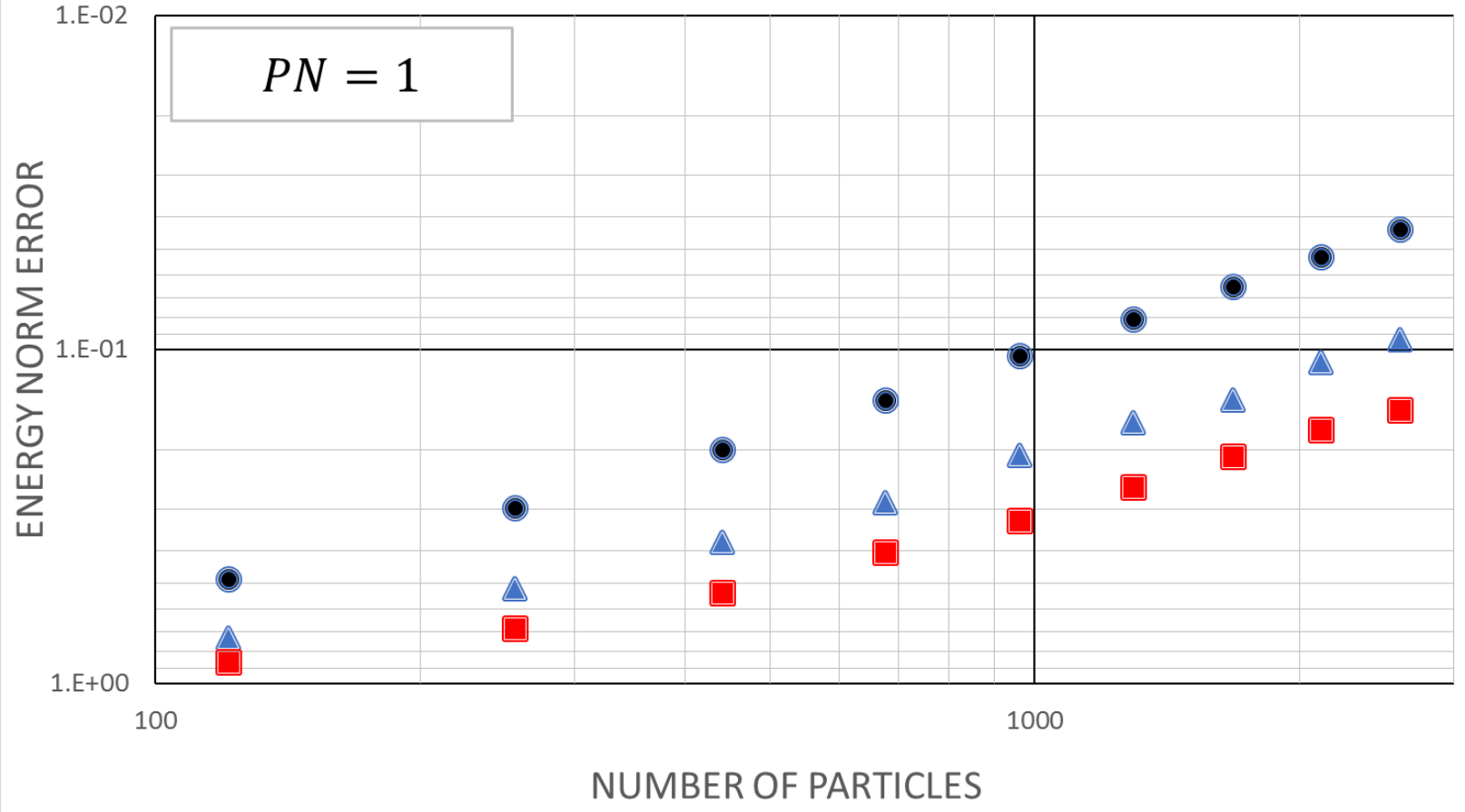


## Energy norm error - Number of Particles

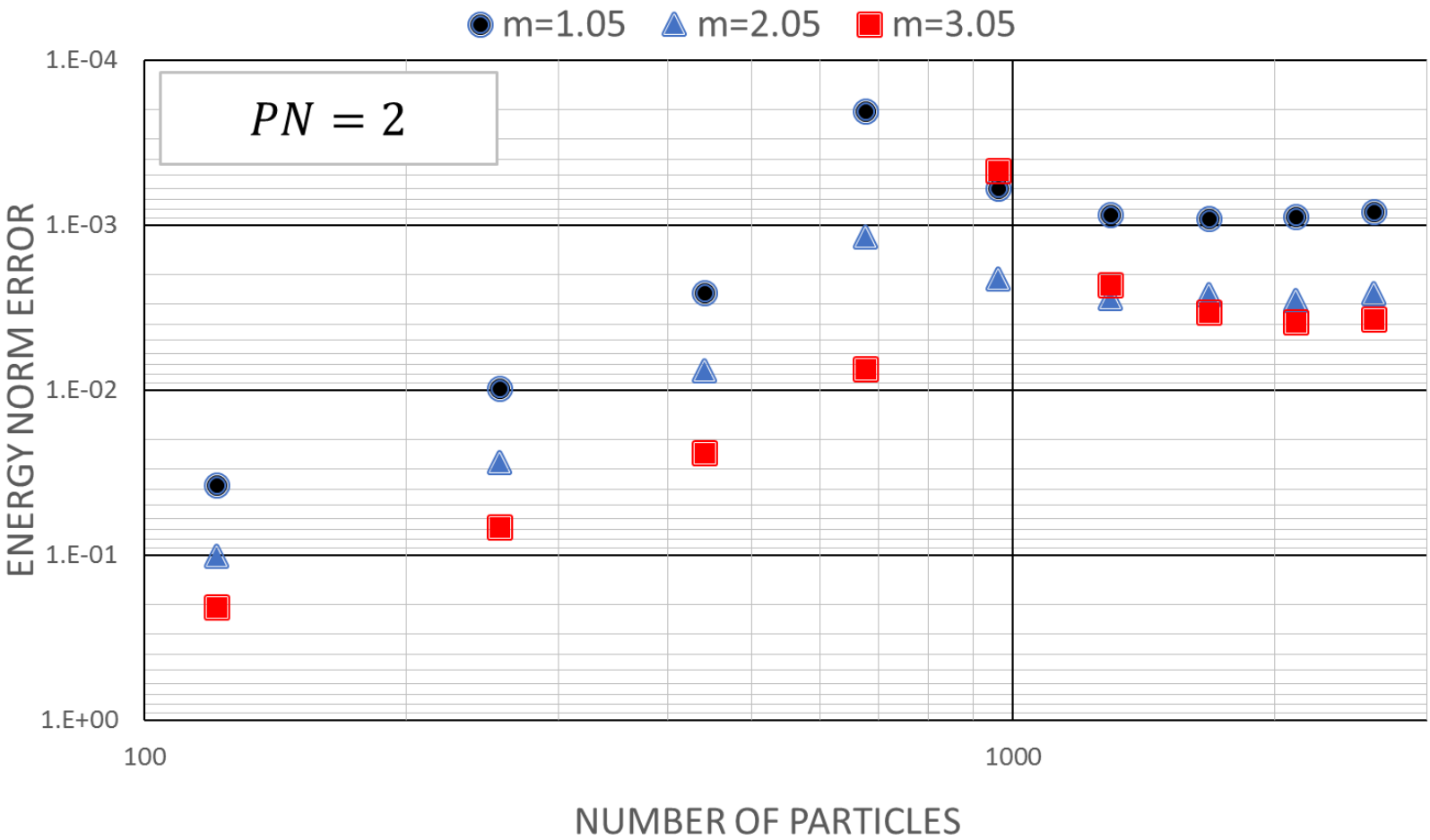


## Energy norm error - Number of Particles

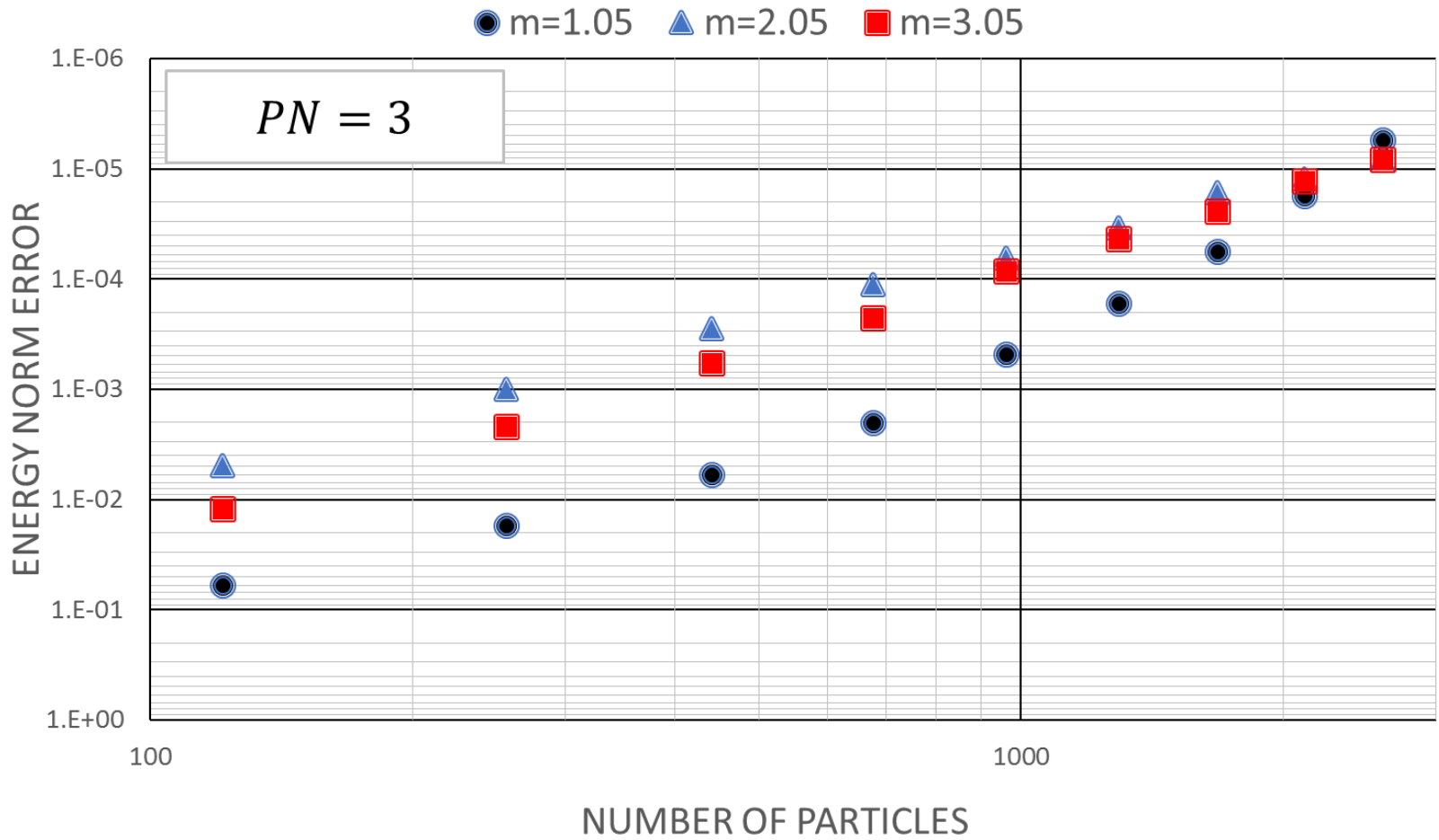
●  $m=1.05$    ▲  $m=2.05$    ■  $m=3.05$



## Energy norm error - Number of Particles



## Energy norm error - Number of Particles



## Összefoglalás

- Nagy elmozdulásokkal és alakváltozásokkal járó probléma megoldása 1. fokú (szokásos) NOSBPD-vel.
- Magasabb fokú peridinamikus differenciál operátor bevezetése (NOPBPD).
- Implicit megoldó levezetése.
- A peridinamikus paraméterek (NN, NP, m) hatásának vizsgálata erősen nemlineáris problémán.

## Eredmények

- Az 1. fokú (szokásos) NOSBPD pontatlan eredményre vezethet az alakváltozási gradiens és más mechanikai jellemzők meghatározása során.
- A magasabb fokú PDO megoldást jelent erre.
- A magasabb fokú PDO alkalmazásával levezett implicit Newton-Raphson megoldó konvergens eredményre vezet.

## Publikáció

- Kapcsolt hőrugalmas probléma megoldása:  
EuroSimE2018 – Toulouse – 2018.04.  
Dunakavics folyóirat – 2018.07.
- Hiperelasztikus probléma megoldása:  
ESMC2018 – Bologna – 2018.07.  
IWCM – Glasgow – 2018.10.

## Kutatás

- Képlékeny anyagmodellek adaptálása és alkalmazása.
- Implicit-explicit megoldó nagy alakváltozásokkal járó repedésterjedés megoldására.

## Oktatás

- Statika,
- Károsodás elmélet és szerk. integritás.



# Köszönöm a figyelmet!

*E-mail: [ladanyi@uniduna.hu](mailto:ladanyi@uniduna.hu)*